

# Analytische Berechnung der spontanen Magnetisierung von isotropen homogenen Ising Ferromagneten unter der Verwendung von Graßmann Zahlen

Joachim Pomper

Technische Universität Graz

21.10.2020

- 1 Einleitung
- 2 Grundlagen
  - Ising Modell
  - Statistische Physik
  - Graßmann Zahlen
  - Pfaffsche Determinante
- 3 Die Berechnung
  - Reformulierung des Ising-Modells
  - Berechnung der Spin-Spin Korrelation
  - Berechnung der Magnetisierung
- 4 Zusammenfassung

# Warum das 2d Modell exakt lösen?

- Einfachstes statistisches Modell, welches einen Phasenübergang zweiter Ordnung aufweist.

# Warum das 2d Modell exakt lösen?

- Einfachstes statistisches Modell, welches einen Phasenübergang zweiter Ordnung aufweist.
- Exakte Lösungen geben neue Einsicht in das System.

# Warum das 2d Modell exakt lösen?

- Einfachstes statistisches Modell, welches einen Phasenübergang zweiter Ordnung aufweist.
- Exakte Lösungen geben neue Einsicht in das System.
- Kann als Test-Modell für numerische Näherungsverfahren verwendet werden.

# Historisches

1948 Formel ohne Beweis

# Historisches

1948 Formel ohne Beweis

1952 Sehr komplizierter Beweis

# Historisches

1948 Formel ohne Beweis

1952 Sehr komplizierter Beweis

1962 Untersuchung mit Pfaffscher Determinante



# Historisches

1948 Formel ohne Beweis

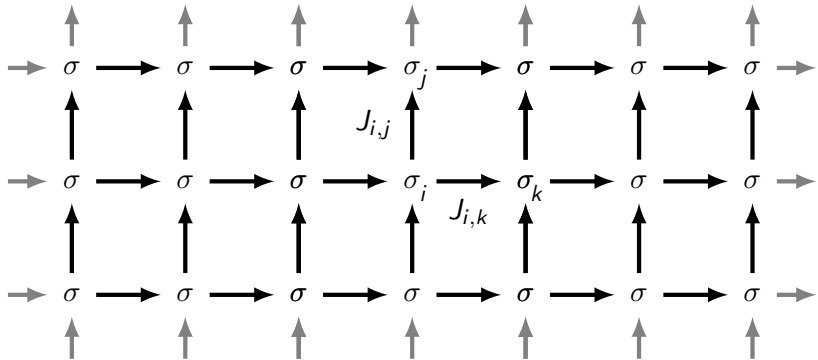
1952 Sehr komplizierter Beweis

1962 Untersuchung mit Pfaffscher Determinante

1980 Untersuchung mit Graßmann Variablen

# Grundlagen

# Periodisches Ising-Gitter



# Hamiltonfunktion des 2d Ising-Gitters

$$H(S) := -J \sum_{(i,j)} \sigma_i(S) \sigma_j(S)$$

$$S \in \{(\sigma_1, \dots, \sigma_N) \mid \sigma_i \in \{-1, 1\}\}$$

Annahmen für das behandelte Modell :

- Nur nächste Nachbar Wechselwirkung
- Isotropie und Homogenität des Modells
- Ferromagnetischer Austausch d.h.  $J > 0$
- Kein externes Magnetfeld
- Periodische Randbedingungen

# Zentrale Größen der Statistischen Physik

## Zustandssumme

$$Z := \sum_{\{S\}} e^{-\beta H(S)}$$

$$\beta := \frac{1}{k_B T}$$

## Spin-Spin-Korrelation

$$\langle \sigma_p \sigma_q \rangle$$

# Thermodynamischer Limes

Endliche System werden auf ein beliebig großes System extrapoliert.

$$\lim_{V, N \rightarrow \infty}^* \quad \Longleftrightarrow \quad \begin{aligned} N &\longrightarrow \infty \\ V &\longrightarrow \infty \\ n = N/V &= \textit{konst.} < \infty \end{aligned}$$

# Spontane Magnetisierung

## Definition

$$\mathcal{M}_S := n\mu \langle \sigma \rangle$$

Mittleres magnetisches Moment pro Volumen ohne externes Magnetfeld

# Spontane Magnetisierung

## Definition

$$\mathcal{M}_S := n\mu \langle \sigma \rangle$$

$$\lim_{|\mathbf{x}-\mathbf{y}| \rightarrow \infty} \langle \sigma_{\mathbf{x}} \sigma_{\mathbf{y}} \rangle = \langle \sigma \rangle^2$$



# Spontane Magnetisierung

## Definition

$$\mathcal{M}_S := n\mu \langle \sigma \rangle$$

$$\lim_{|\mathbf{x}-\mathbf{y}| \rightarrow \infty} \langle \sigma_{\mathbf{x}} \sigma_{\mathbf{y}} \rangle = \langle \sigma \rangle^2$$

## Verwendeter Ausdruck

$$\mathcal{M}_S = n\mu \lim_{m \rightarrow \infty} \sqrt{\langle \sigma_{(0,0)} \sigma_{(m,0)} \rangle}$$

# Graßmann Algebra

$(\mathcal{A}, \cdot, +, \wedge)$  heißt Graßmann Algebra, falls gilt:

- $(\mathcal{A}, \cdot, +)$  ist ein Vektorraum
- $\wedge : \mathcal{A} \rightarrow \mathcal{A}$  ist assoziativ
- Es gibt ein neutrales Element 1 bzgl.  $\wedge : \mathcal{A} \rightarrow \mathcal{A}$
- Es gibt eine Familie  $(\eta_1, \eta_2, \dots, \eta_n)$ , welche  $\mathcal{A}$  generiert
- Die Generatoren erfüllen die Eigenschaft  $\eta_i \wedge \eta_j = -\eta_j \wedge \eta_i$

Ein Objekt  $\eta \in \mathcal{A}$  heißt dann Graßmann-Zahl.

# Generatoren

Generatoren antikommutieren

$$\eta_i \eta_j = -\eta_j \eta_i$$

# Generatoren

Generatoren antikommutieren

$$\eta_i \eta_j = -\eta_j \eta_i$$

Quadrate von Generatoren verschwinden

$$\eta_i^2 = 0$$

# Generatoren

Generatoren antikommutieren

$$\eta_i \eta_j = -\eta_j \eta_i$$

Quadrate von Generatoren verschwinden

$$\eta_i^2 = 0$$

Paare von Generatoren kommutieren

$$(\eta_i \eta_j)(\eta_l \eta_k) = (\eta_l \eta_k)(\eta_i \eta_j)$$

# Graßmann Zahlen

Für jede Graßmann Zahl  $f$  gibt es eine eindeutige Darstellung

$$f = f_0 \, 1 + \sum_i f_i \, \eta_i + \sum_{i_1 < i_2} f_{i_1, i_2} \, \eta_{i_1} \eta_{i_2} + \sum_{i_1 < i_2 < i_3} \dots + f_{1, 2, \dots, n} \, \eta_1 \eta_2 \cdots \eta_n$$

# Graßmann Zahlen

Für jede Graßmann Zahl  $f$  gibt es eine eindeutige Darstellung

$$f = f_0 \cdot 1 + \sum_i f_i \eta_i + \sum_{i_1 < i_2} f_{i_1, i_2} \eta_{i_1} \eta_{i_2} + \sum_{i_1 < i_2 < i_3} \dots + f_{1, 2, \dots, n} \eta_1 \eta_2 \cdots \eta_n$$

## Spur einer Graßmann Zahl

$$\text{Sp}(f) = f_{1, 2, \dots, n} \in \mathbb{C}$$

# Graßmann Funktionen

Quadratische Wirkung

$$\boldsymbol{\eta}^T \mathbf{A} \boldsymbol{\eta} = (\eta_1, \eta_2) \begin{pmatrix} 1 & 2 \\ -2 & 3 \end{pmatrix} \begin{pmatrix} \eta_1 \\ \eta_2 \end{pmatrix} = -2\eta_2\eta_1 + 2\eta_1\eta_2 = 4\eta_1\eta_2$$



# Graßmann Funktionen

Quadratische Wirkung

$$\boldsymbol{\eta}^T \mathbf{A} \boldsymbol{\eta} = (\eta_1, \eta_2) \begin{pmatrix} 1 & 2 \\ -2 & 3 \end{pmatrix} \begin{pmatrix} \eta_1 \\ \eta_2 \end{pmatrix} = -2\eta_2\eta_1 + 2\eta_1\eta_2 = 4\eta_1\eta_2$$

Exponentialfunktion

$$\exp(\eta_1) = 1 + \eta_1 + \frac{\eta_1^2}{2} + \dots = 1 + \eta_1$$

# Pfaffsche Determinante

## Definition

Für  $\mathbf{M} = -\mathbf{M}^T \in \mathbb{C}^{2k \times 2k}$

$$\text{pf}(\mathbf{M}) = \frac{1}{2^n n!} \sum_{P \in S_{2n}} \text{sign}(P) \prod_{i=1}^n M_{P(2i-1), P(2i)}$$

# Pfaffsche Determinante

## Definition

Für  $\mathbf{M} = -\mathbf{M}^T \in \mathbb{C}^{2k \times 2k}$

$$\text{pf}(\mathbf{M}) = \frac{1}{2^n n!} \sum_{P \in S_{2n}} \text{sign}(P) \prod_{i=1}^n M_{P(2i-1), P(2i)}$$

$$\text{pf} \begin{pmatrix} 0 & a & b & c \\ -a & 0 & d & e \\ -b & -d & 0 & f \\ -c & -e & -f & 0 \end{pmatrix} = af - be + dc$$

# Zentrale Größen im Beweis

## Graßmann Zustandssumme

$$\mathcal{Z} = \text{Sp} \left( \exp \left( \frac{1}{2} \boldsymbol{\eta}^T \mathbf{A} \boldsymbol{\eta} \right) \right)$$

## Graßmann Korrelation

$$\langle \eta_i \eta_j \rangle = \frac{\text{Sp} \left( \exp \left( \frac{1}{2} \boldsymbol{\eta}^T \mathbf{A} \boldsymbol{\eta} \right) \eta_i \eta_j \right)}{\text{Sp} \left( \exp \left( \frac{1}{2} \boldsymbol{\eta}^T \mathbf{A} \boldsymbol{\eta} \right) \right)}$$

# Zentrale Größen im Beweis

## Graßmann Zustandssumme

$$\mathcal{Z} = \text{Sp} \left( \exp \left( \frac{1}{2} \boldsymbol{\eta}^T \mathbf{A} \boldsymbol{\eta} \right) \right) = \text{pf}(\mathbf{A})$$

## Graßmann Korrelation

$$\langle \eta_i \eta_j \rangle = \frac{\text{Sp} \left( \exp \left( \frac{1}{2} \boldsymbol{\eta}^T \mathbf{A} \boldsymbol{\eta} \right) \eta_i \eta_j \right)}{\text{Sp} \left( \exp \left( \frac{1}{2} \boldsymbol{\eta}^T \mathbf{A} \boldsymbol{\eta} \right) \right)} = (\mathbf{A}^{-1})_{i,j}$$

# Die Berechnung

# Ausgangspunkt

## Hochtemperatur Darstellung

$$Z = \cosh(\beta J)^{2N} \sum_{\{S\}} \prod_{(i,j)} (1 + t (\sigma_i \sigma_j))$$

$$t = \tanh(\beta J) \in [0, 1]$$

# Ausgangspunkt

## Hochtemperatur Darstellung

$$\begin{aligned} Z &= \cosh(\beta J)^{2N} \sum_{\{S\}} \prod_{(i,j)} (1 + t (\sigma_i \sigma_j)) \\ &= \cosh(\beta J)^{2N} 2^N \sum_{\{G\}} t^{N_k(G)} \end{aligned}$$

$$t = \tanh(\beta J) \in [0, 1]$$

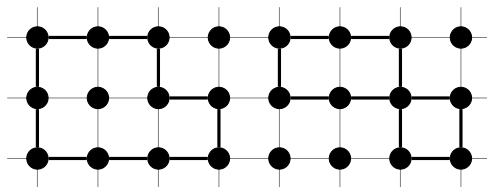


# Graphische Darstellung der Zustandssumme

$$\Xi[t_{i,j}] = \sum_{\{G\}} \prod_{(i,j) \in K_G} t_{i,j}$$

Die Graphen  $G = (V_G, K_G)$  besitzen die Eigenschaften:

- i) Alle Vertices des Graphen liegen auf dem Gitter
- ii)  $G$  ist geschlossen (auch über periodischen Rand)
- iii)  $G$  kann durchlaufen werden, ohne eine Kante zweimal zu nutzen.



# Hochtemperatur-Darstellung Zustandssumme

## Zustandssumme

$$Z = \cosh(\beta J)^{2N} 2^N \Xi[t]$$

Mit uniformer Kantengewichtung :

$$t = \tanh(\beta J) \in [0, 1]$$

# Hochtemperatur-Darstellung Korrelation

## Spin-Spin-Korrelation

$$\langle \sigma_{0,0} \sigma_{0,m} \rangle = \frac{t^m \Xi[\tilde{t}_{i,j}]}{\Xi[t]}$$

Mit modifizierter Kantengewichtung :

$$\tilde{t}_{i,j} = \begin{cases} t^{-1} & \text{Kante auf x-Achse zwischen 0 und } m \\ t & \text{Sonst} \end{cases}$$

# Grundlegende Idee

- Graphen als Produkte von Graßmann Zahlen darstellen.

# Grundlegende Idee

- Graphen als Produkte von Graßmann Zahlen darstellen.
- Finde Graßmann Wirkung  $A$  sodass

$$\text{Sp} \left( e^A \right) \stackrel{!}{=} \Xi[t] = \sum_{\{G\}} t^{N_K(G)}$$

# Graphen mit Graßmann Zahlen

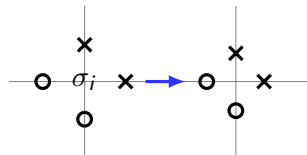
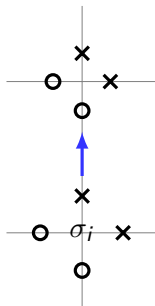
Ordnen jedem Gitterpunkt 4 Graßmann Generatoren zu.

$$\begin{array}{c}
 v_i^x \\
 \times \\
 h_i^o \quad \circ \quad \sigma_i \quad \times \quad h_i^x \\
 \circ \\
 v_i^o
 \end{array}$$

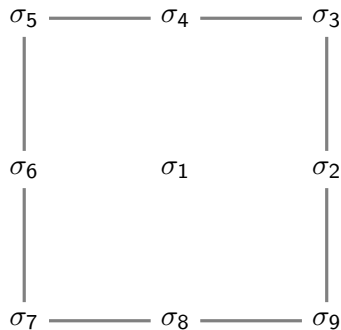
# Graphen mit Graßmann Zahlen

$$P_{\mathbf{x}_i}^{(v)} = v_{\mathbf{x}_i}^x v_{\mathbf{x}_i + \mathbf{e}_y}^o$$

$$P_{\mathbf{x}_i}^{(h)} = h_{\mathbf{x}_i}^x h_{\mathbf{x}_i + \mathbf{e}_x}^o$$

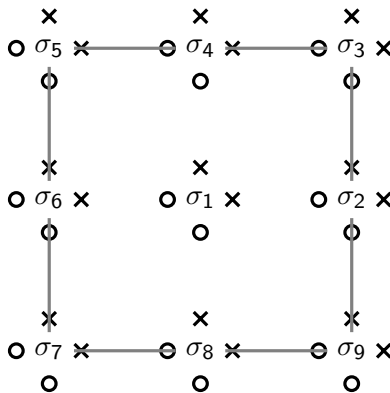


# Graphen mit Graßmann Zahlen

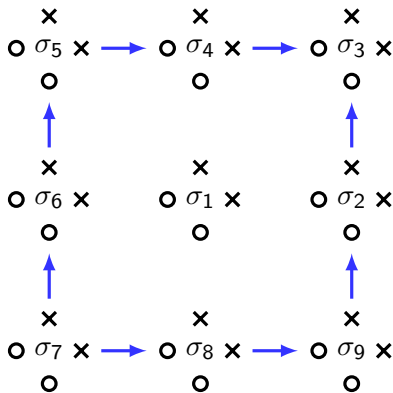




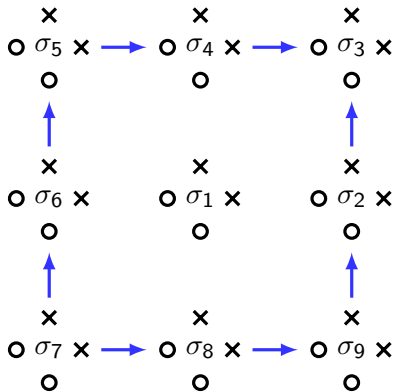
# Graphen mit Graßmann Zahlen



# Graphen mit Graßmann Zahlen



# Graphen mit Graßmann Zahlen



$$G = P_{x_7}^{(\nu)} P_{x_6}^{(\nu)} P_{x_2}^{(\nu)} P_{x_9}^{(\nu)} P_{x_5}^{(h)} P_{x_4}^{(h)} P_{x_7}^{(h)} P_{x_8}^{(h)}$$

# Graphen mit Graßmann Zahlen

Jeder Graph auf dem Gitter lässt sich darstellen als

$$G = \prod_{(\mathbf{x}_i, \mathbf{x}_i + \mathbf{e}_y) \in K_G} P_{\mathbf{x}_i}^{(v)} \prod_{(\mathbf{x}_i, \mathbf{x}_i + \mathbf{e}_x) \in K_G} P_{\mathbf{x}_i}^{(h)}$$

# Graphen mit Graßmann Zahlen

Jeder Graph auf dem Gitter lässt sich darstellen als

$$G = \prod_{(\mathbf{x}_i, \mathbf{x}_i + \mathbf{e}_y) \in K_G} P_{\mathbf{x}_i}^{(v)} \prod_{(\mathbf{x}_i, \mathbf{x}_i + \mathbf{e}_x) \in K_G} P_{\mathbf{x}_i}^{(h)}$$

Spur der Graßmann Graphen

$$\text{Sp}(G) \stackrel{!}{=} t^{N_k(G)}$$

# Graphen mit Graßmann Zahlen

Jeder Graph auf dem Gitter lässt sich darstellen als

$$G = \prod_{(\mathbf{x}_i, \mathbf{x}_i + \mathbf{e}_y) \in K_G} t^{P_{\mathbf{x}_i}^{(v)}} \prod_{(\mathbf{x}_i, \mathbf{x}_i + \mathbf{e}_x) \in K_G} t^{P_{\mathbf{x}_i}^{(h)}}$$

Spur der Graßmann Graphen

$$\text{Sp}(G) \stackrel{!}{=} t^{N_k(G)}$$

# Graphen mit Graßmann Zahlen

Jeder Graph auf dem Gitter lässt sich darstellen als

$$G = \prod_{(\mathbf{x}_i, \mathbf{x}_i + \mathbf{e}_y) \in K_G} t P_{\mathbf{x}_i}^{(v)} \prod_{(\mathbf{x}_i, \mathbf{x}_i + \mathbf{e}_x) \in K_G} t P_{\mathbf{x}_i}^{(h)}$$

Spur der Graßmann Graphen

$$\text{Sp}(G) = 0$$

# Graphen mit Graßmann Zahlen

Jeder Graph auf dem Gitter lässt sich darstellen als

$$G = \prod_{(\mathbf{x}_i, \mathbf{x}_i + \mathbf{e}_y) \in K_G} t P_{\mathbf{x}_i}^{(v)} \prod_{(\mathbf{x}_i, \mathbf{x}_i + \mathbf{e}_x) \in K_G} t P_{\mathbf{x}_i}^{(h)}$$

Spur der Graßmann Graphen

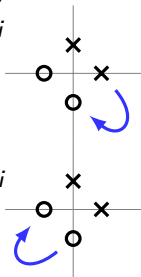
$$\text{Sp}(G) = 0$$

Es müssen noch mehr Paare angehängt werden !

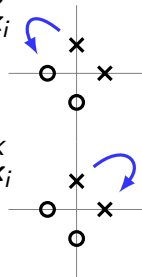


# Graphen mit Graßmann Zahlen

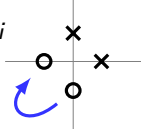
$$P_{x_i}^{(a)} = h_{x_i}^x v_{x_i}^o$$



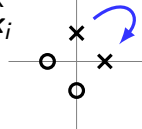
$$P_{x_i}^{(b)} = v_{x_i}^x h_{x_i}^o$$



$$P_{x_i}^{(c)} = v_{x_i}^o h_{x_i}^o$$

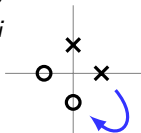


$$P_{x_i}^{(d)} = v_{x_i}^x h_{x_i}^x$$

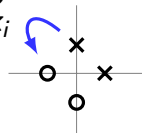


# Graphen mit Graßmann Zahlen

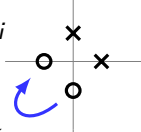
$$P_{x_i}^{(a)} = h_{x_i}^x v_{x_i}^o$$



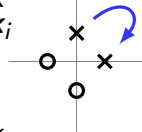
$$P_{x_i}^{(b)} = v_{x_i}^x h_{x_i}^o$$



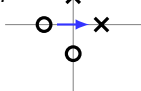
$$P_{x_i}^{(c)} = v_{x_i}^o h_{x_i}^o$$



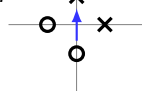
$$P_{x_i}^{(d)} = v_{x_i}^x h_{x_i}^x$$



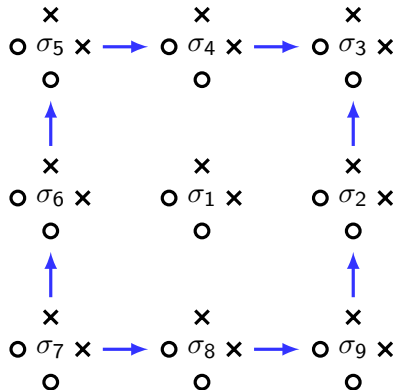
$$P_{x_i}^{(e)} = h_{x_i}^o h_{x_i}^x$$



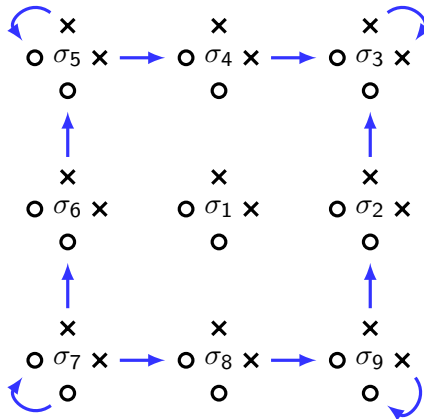
$$P_{x_i}^{(f)} = v_{x_i}^o v_{x_i}^x$$



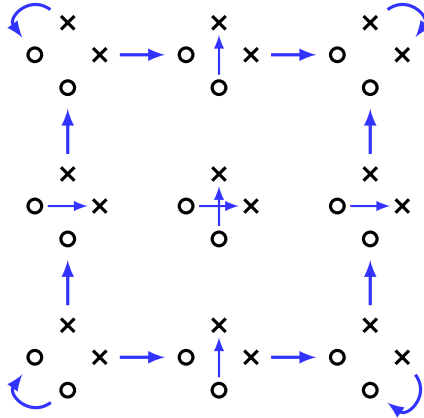
# Graphen mit Graßmann Zahlen



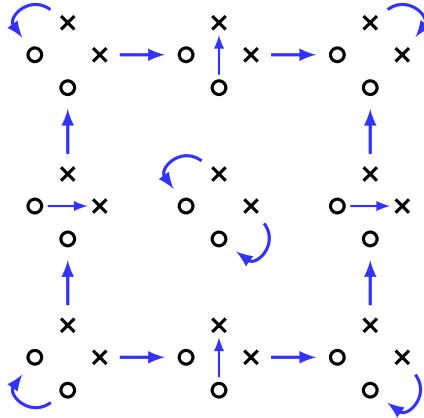
# Graphen mit Graßmann Zahlen



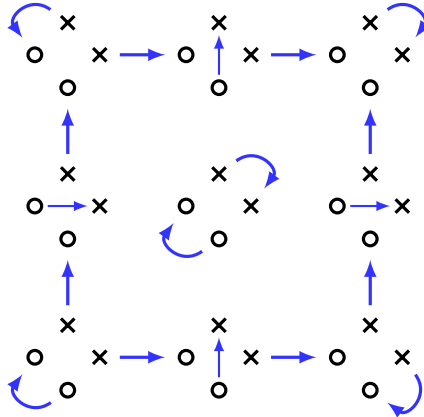
# Graphen mit Graßmann Zahlen



# Graphen mit Graßmann Zahlen



# Graphen mit Graßmann Zahlen



# Graphen mit Graßmann Zahlen

- Jeder Graph auf Gitter als Graßmann Monom darstellbar



# Graphen mit Graßmann Zahlen

- Jeder Graph auf Gitter als Graßmann Monom darstellbar
- Darstellung ist nicht eindeutig

# Graphen mit Graßmann Zahlen

- Jeder Graph auf Gitter als Graßmann Monom darstellbar
- Darstellung ist nicht eindeutig
- Paar-Gewichte müssen so gewählt werden, dass die Spur das Graphen-Gewicht ergibt.

# Graphen mit Graßmann Zahlen

$\text{Sp}(G)$  verschwindet, wenn:

- i) eine Kante im Graphen doppelt durchlaufen wird

# Graphen mit Graßmann Zahlen

$\text{Sp}(G)$  verschwindet, wenn:

- i) eine Kante im Graphen doppelt durchlaufen wird
- ii) der Graph nicht geschlossen ist

# Graphen mit Graßmann Zahlen

$\text{Sp}(G)$  verschwindet, wenn:

- i) eine Kante im Graphen doppelt durchlaufen wird
- ii) der Graph nicht geschlossen ist

**Die Graßmann Graphen haben genau die gesuchten  
Eigenschaften!**

# Exponentialfunktion als Generator aller Graphen

$$\exp \left( \sum_{i \in \Lambda} a_i P_i \right)$$

# Exponentialfunktion als Generator aller Graphen

$$\exp \left( \sum_{i \in \Lambda} a_i P_i \right) = \prod_{i \in \Lambda} \exp(a_i P_i) = \prod_{i \in \Lambda} (1 + a_i P_i)$$

# Exponentialfunktion als Generator aller Graphen

$$\exp \left( \sum_{i \in \Lambda} a_i P_i \right) = \prod_{i \in \Lambda} \exp(a_i P_i) = \prod_{i \in \Lambda} (1 + a_i P_i)$$

- Explizites Ausmultiplizieren liefert alle Produkte von Paaren



# Exponentialfunktion als Generator aller Graphen

$$\exp \left( \sum_{i \in \Lambda} a_i P_i \right) = \prod_{i \in \Lambda} \exp(a_i P_i) = \prod_{i \in \Lambda} (1 + a_i P_i)$$

- Explizites Ausmultiplizieren liefert alle Produkte von Paaren
- Nur für Produkte, in denen jeder Generator vertreten ist, gilt

$$\text{Sp}(G) \neq 0$$

# Graßmann Wirkung

Definieren Graßmann Wirkungen:

$$A_{hv} = \sum_{\mathbf{x}_i} t P_{\mathbf{x}_i}^{(h)} + t P_{\mathbf{x}_i}^{(v)}$$

$$A_{abcd} = - \sum_{\mathbf{x}_i} P_{\mathbf{x}_i}^{(a)} + P_{\mathbf{x}_i}^{(b)} + P_{\mathbf{x}_i}^{(c)} + P_{\mathbf{x}_i}^{(d)}$$

$$A_{ef} = - \sum_{\mathbf{x}_i} P_{\mathbf{x}_i}^{(e)} + P_{\mathbf{x}_i}^{(f)}$$

# Graßmann Wirkung

Definieren Graßmann Wirkungen:

$$A_{hv} = \sum_{\mathbf{x}_i} t P_{\mathbf{x}_i}^{(h)} + t P_{\mathbf{x}_i}^{(v)}$$

$$A_{abcd} = - \sum_{\mathbf{x}_i} P_{\mathbf{x}_i}^{(a)} + P_{\mathbf{x}_i}^{(b)} + P_{\mathbf{x}_i}^{(c)} + P_{\mathbf{x}_i}^{(d)}$$

$$A_{ef} = - \sum_{\mathbf{x}_i} P_{\mathbf{x}_i}^{(e)} + P_{\mathbf{x}_i}^{(f)}$$

## Zustandssumme mit Graßmann Variablen

$$\sum_{\{G\}} t^{N_K(G)} \approx (-1)^N \text{Sp} \left( e^{A_{hv} + A_{abcd} + A_{ef}} \right)$$

# Transformation der Wirkung

Transformieren

$$A = A_{gh} + A_{abcd} + A_{ef}$$

mit Fouriertransformation  $U$

$$\mathbf{x}_i \xrightarrow{U} \mathbf{k}_i$$

$$h_{\mathbf{x}_i}^x, h_{\mathbf{x}_i}^o, v_{\mathbf{x}_i}^x, v_{\mathbf{x}_i}^o \xrightarrow{U} \hat{h}_{\mathbf{k}_i}^x, \hat{h}_{\mathbf{k}_i}^o, \hat{v}_{\mathbf{k}_i}^x, \hat{v}_{\mathbf{k}_i}^o$$

$$A \xrightarrow{U} \hat{A}$$

Die Spur bleibt erhalten

$$\text{Sp} \left( e^A \right) = \text{Sp} \left( e^{\hat{A}} \right)$$

# Darstellende Matrix

$$\hat{\mathbf{A}} = \frac{1}{2} \left( \begin{array}{c|ccc|ccc} \hat{\mathbf{A}}_{k_0} & 0 & \dots & 0 & 0 & \dots & 0 \\ \hline 0 & 0 & \dots & 0 & \hat{\mathbf{A}}_{k_1} & \dots & 0 \\ \vdots & \vdots & \ddots & \vdots & \vdots & \ddots & \vdots \\ 0 & 0 & \dots & 0 & 0 & \dots & \hat{\mathbf{A}}_{k_{2M(M+1)}} \\ \hline 0 & -\hat{\mathbf{A}}_{k_1}^T & \dots & 0 & 0 & \dots & 0 \\ \vdots & \vdots & \ddots & \vdots & \vdots & \ddots & \vdots \\ 0 & 0 & \dots & -\hat{\mathbf{A}}_{k_{2M(M+1)}}^T & 0 & \dots & 0 \end{array} \right)$$

$\hat{\mathbf{A}}_k$  sind komplexe  $4 \times 4$  Matrizen

# Spin-Spin Korrelation

$$\langle \sigma_{0,0} \sigma_{m,0} \rangle = \frac{t^m \Xi[\tilde{t}_{i,j}]}{\Xi[t]} \approx \frac{t^m \text{Sp}(e^{A_D})}{\text{Sp}(e^A)}$$

$$A_D = A - \sum_{\mathbf{x}} t h_{\mathbf{x}}^x h_{\mathbf{x}+\mathbf{e}_x}^o + \sum_{\mathbf{x}} t^{-1} h_{\mathbf{x}}^x h_{\mathbf{x}+\mathbf{e}_x}^o$$

# Spin-Spin Korrelation als Toeplitz Determinante

$$\frac{t^m \text{Sp} (e^{A_D})}{\text{Sp} (e^A)} = \dots = \det \left( \mathbf{C}^{(m)} \right)$$

$$C_{l,l'}^{(m)} = t\delta_{l,l'} + (1 - t^2) \sum_{\mathbf{k}} e^{-i(l-l'-1)k_1} \left\langle \hat{h}_{\mathbf{k}}^x \hat{h}_{-\mathbf{k}}^o \right\rangle \frac{\Delta k_1}{2\pi} \frac{\Delta k_2}{2\pi}$$

$\mathbf{C}^{(m)}$  ist eine  $m \times m$  Toeplitz Matrix

# Graßmann Korrelationen berechnen

$$\left\langle \hat{h}_{\mathbf{k}}^x \hat{h}_{-\mathbf{k}}^o \right\rangle_{\Lambda_N} = \frac{\text{Sp} \left( e^{\hat{A}} \hat{h}_{\mathbf{k}}^x \hat{h}_{-\mathbf{k}}^o \right)}{\text{Sp} \left( e^{\hat{A}} \right)} = (\mathbf{A}_{\mathbf{k}}^{-1})_{2,1}$$



# Thermodynamischer Limes

$$\sum_{\mathbf{k} \in \bar{\Lambda}} e^{-i(l-l') \cdot \mathbf{k}_1} \left\langle \hat{h}_{\mathbf{k}}^x \hat{h}_{-\mathbf{k}}^o \right\rangle_{\Lambda_N} \frac{\Delta k_1}{2\pi} \frac{\Delta k_2}{2\pi}$$

$$\begin{array}{ccc} \Delta k_1 & & \Delta k_2 \\ \downarrow & \downarrow & \downarrow \\ 0 & & 0 \end{array}$$

$$\frac{1}{(2\pi)^2} \int_{-\pi}^{\pi} \int_{-\pi}^{\pi} dk_1 dk_2 e^{-i(l-l') \cdot \mathbf{k}_1} \left\langle \hat{h}_{\mathbf{k}}^x \hat{h}_{-\mathbf{k}}^o \right\rangle$$

# Korrelationsmatrix in Fourierdarstellung

$$\left(\frac{\mathcal{M}_S}{n\mu}\right)^2 = \lim_{m \rightarrow \infty} \langle \sigma_{(0,0)} \sigma_{(m,0)} \rangle = \lim_{m \rightarrow \infty} \det \left( \mathbf{C}^{(m)} \right)$$

# Korrelationsmatrix in Fourierdarstellung

$$\left(\frac{\mathcal{M}_S}{n\mu}\right)^2 = \lim_{m \rightarrow \infty} \langle \sigma_{(0,0)} \sigma_{(m,0)} \rangle = \lim_{m \rightarrow \infty} \det \left( \mathbf{C}^{(m)} \right)$$

$$C_{l,l+r}^{(m)} = \frac{1}{2\pi} \int_{-\pi}^{\pi} d\omega \, e^{-ir\omega} e^{i\delta^*}$$

# Korrelationsmatrix in Fourierdarstellung

$$\left(\frac{\mathcal{M}_S}{n\mu}\right)^2 = \lim_{m \rightarrow \infty} \langle \sigma_{(0,0)} \sigma_{(m,0)} \rangle = \lim_{m \rightarrow \infty} \det \left( \mathbf{C}^{(m)} \right)$$

$$C_{l,l+r}^{(m)} = \frac{1}{2\pi} \int_{-\pi}^{\pi} d\omega \, e^{-ir\omega} e^{i\delta^*}$$

$$i\delta^*(\omega) = \frac{1}{2} \ln \left( \frac{(1 - tt^* e^{i\omega})(1 - \frac{t^*}{t} e^{-i\omega})}{(1 - tt^* e^{-i\omega})(1 - \frac{t^*}{t} e^{i\omega})} \right)$$

$$t = \tanh(\beta J) \quad t^* = \frac{1-t}{1+t} \quad \omega = -k_1$$

# Starker Grenzwertsatz von Szegő

Für

$$f(\omega) = \sum_{k=-\infty}^{\infty} \hat{f}(k) e^{ik\omega}$$

# Starker Grenzwertsatz von Szegő

Für

$$f(\omega) = \sum_{k=-\infty}^{\infty} \hat{f}(k) e^{ik\omega}$$

gilt mit

$$D_m(f) = \det(\mathbf{M}) \quad \text{mit } M_{i,j} = \hat{f}(i-j) \quad , \quad 1 \leq i,j \leq m$$

im Limes  $m \rightarrow \infty$

# Starker Grenzwertsatz von Szegő

Für

$$f(\omega) = \sum_{k=-\infty}^{\infty} \hat{f}(k) e^{ik\omega}$$

gilt mit

$$D_m(f) = \det(\mathbf{M}) \quad \text{mit } M_{i,j} = \hat{f}(i-j) \quad , \quad 1 \leq i,j \leq m$$

im Limes  $m \rightarrow \infty$

$$\ln(D_m(f)) = (m+1)\hat{s}(0) + \sum_{k=1}^{\infty} k \hat{s}(k) \hat{s}(-k) + o(1)$$

$$\hat{s}(k) = \frac{1}{2\pi} \int_{-\pi}^{\pi} \ln(f(\omega)) e^{-ik\omega} d\omega$$

# Kritische Temperatur

$$f(\omega) = e^{i\delta^*(\omega)} \Rightarrow \ln(f(\omega)) = i\delta^*(\omega)$$



# Kritische Temperatur

$$f(\omega) = e^{i\delta^*(\omega)} \Rightarrow \ln(f(\omega)) = i\delta^*(\omega)$$

$$\begin{aligned} 2i\delta^*(\omega) = & \ln(1 - tt^*e^{i\omega}) + \ln\left(1 - \frac{t^*}{t}e^{-i\omega}\right) \\ & - \ln(1 - tt^*e^{-i\omega}) - \ln\left(1 - \frac{t^*}{t}e^{i\omega}\right) \end{aligned}$$

# Kritische Temperatur

$$f(\omega) = e^{i\delta^*(\omega)} \Rightarrow \ln(f(\omega)) = i\delta^*(\omega)$$

$$\begin{aligned} 2i\delta^*(\omega) = & \ln\left(1 - \textcolor{red}{t} \textcolor{red}{t}^* e^{i\omega}\right) + \ln\left(1 - \frac{\textcolor{blue}{t}^*}{\textcolor{blue}{t}} e^{-i\omega}\right) \\ & - \ln\left(1 - \textcolor{red}{t} \textcolor{red}{t}^* e^{-i\omega}\right) - \ln\left(1 - \frac{\textcolor{blue}{t}^*}{\textcolor{blue}{t}} e^{i\omega}\right) \end{aligned}$$

# Kritische Temperatur

$$f(\omega) = e^{i\delta^*(\omega)} \Rightarrow \ln(f(\omega)) = i\delta^*(\omega)$$

$$2i\delta^*(\omega) = \ln(1 - \textcolor{red}{t}t^*e^{i\omega}) + \ln\left(1 - \frac{\textcolor{blue}{t}^*}{\textcolor{blue}{t}}e^{-i\omega}\right) \\ - \ln(1 - \textcolor{red}{t}t^*e^{-i\omega}) - \ln\left(1 - \frac{\textcolor{blue}{t}^*}{\textcolor{blue}{t}}e^{i\omega}\right)$$

$$T_C := \frac{2J}{\ln(1 + \sqrt{2}) k_B}$$

# Magnetisierung für $T < T_C$

$$2i\delta^*(\omega) = \ln(1 - tt^*e^{i\omega}) + \ln\left(1 - \frac{t^*}{t}e^{-i\omega}\right) \\ - \ln(1 - tt^*e^{-i\omega}) - \ln\left(1 - \frac{t^*}{t}e^{i\omega}\right)$$

↓ Szegő Grenzwertsatz ↓

$$\frac{\mathcal{M}_S^2}{n\mu} = \lim_{m \rightarrow \infty} \det(\mathbf{C}^{(m)}) = \left(1 - \frac{1}{\sinh(\frac{2J}{k_B T})^4}\right)^{\frac{1}{4}}$$

# Magnetisierung für $T > T_C$

$$\begin{aligned}
 2i\delta^*(\omega) = & \ln(1 - tt^*e^{i\omega}) + \ln\left(1 - \frac{t}{t^*}e^{-i\omega}\right) \\
 & - \ln(1 - tt^*e^{-i\omega}) - \ln\left(1 - \frac{t}{t^*}e^{i\omega}\right) + \ln(e^{-2i\omega})
 \end{aligned}$$

$\downarrow$  Szegő Grenzwertsatz  $\downarrow$

$$\frac{\mathcal{M}_S^2}{n\mu} = \lim_{m \rightarrow \infty} \det(\mathbf{C}^{(m)}) = 0$$

# Zusammenfassung

# Resultat - Was wurde gezeigt?

## Spontane Magnetisierung des 2d Ising-Modells

$$\mathcal{M}_S = \begin{cases} n\mu \left( 1 - \frac{1}{\sinh(\frac{2J}{k_B T})^4} \right)^{\frac{1}{8}} & \text{für } T < T_c \\ 0 & \text{für } T > T_c \end{cases}$$

$$T_C := \frac{2J}{\ln(1 + \sqrt{2}) k_B}$$

# Zusammenfassung - Wie wurde es gemacht?

- Graphisch kombinatorisches Problem auf algebraisches Problem abgebildet (Graßmann Zahlen)
- Periodizität erlaubt Vereinfachung (Fouriertransformation, Toeplitz Determinante)
- Starke Szegő Grenzwertsatz für langreichweitigen Limes



# Zusammenfassung - Qualität der vorgeführten Methode

- Transkription des Modells in handhabbares algebraisches Problem
- Berechnung der Zustandssumme
- Berechnung der Spin-Spin-Korrelationen
- Erweiterung auf größere Spin-Korrelationen
- Anwendbar auf andere Probleme wie “ free-fermion ferroelectric vertex models” oder “ planar closed-packed dimer problems”

Danke für ihre Aufmerksamkeit!

# Vorraussetzungen Grenzwertsatz von Szegő

- Konvergenz der Fourier-Koeffizienten

$$\sum_{k=-\infty}^{\infty} |\hat{f}(k)| < \infty \quad , \quad \sum_{k=-\infty}^{\infty} |\hat{f}(k)|^2 |k| < \infty$$

- Keine Nullstellen im Definitionsbereich

$$\forall \omega \in [-\pi, \pi] : f(\omega) \neq 0$$

- Verschwindende Windungszahl

$$[\arg(f)]_{-\pi}^{\pi} = 0$$

# Graphische Interpretation der Zustandssumme

$$\begin{aligned}
 & \sum_{\{S\}} \prod_{(i,j)} (1 + t_{i,j} (\sigma_i \sigma_j)) \\
 &= \sum_{\{S\}} 1 + \sum_{(i,j)} t_{i,j} (\sigma_i \sigma_j) + \sum_{(i,j)} \sum_{(k,l)} t_{i,j} t_{k,l} (\sigma_i \sigma_j) (\sigma_k \sigma_l) \dots \\
 &= \sum_{\{S\}} \sum_{\{(i_1, j_1), \dots, (i_n, j_n)\}} t_{i_1, j_1} \dots t_{i_n, j_n} (\sigma_{i_1} \sigma_{j_1}) (\sigma_{i_2} \sigma_{j_2}) \dots (\sigma_{i_n} \sigma_{j_n})
 \end{aligned}$$